

## 5. Schalenmodell

**Einteilchen-Schalenmodell:** Betrachtet werden die einzelnen Nukleonen im effektiven Potential aller übrigen Nukleonen. Es existieren diskrete Energieniveaus die entsprechend Pauli-Prinzip aufgefüllt werden.

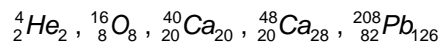
**Energieschalen** = Energieniveaus die nahe beieinander liegen und von anderen Zuständen deutlich getrennt sind.

### 5.1 Magische Zahlen

Kerne mit bestimmten Protonen/Neutronen-Zahlen sind besonders stabil um kommen deshalb auch besonders häufig vor: 2, 8, 20, 28, 50, 82, 126

→ Separation eines Nukleons benötigt besonders viel Energie

Doppelt magische Kerne sind sehr stabil:



Magische Zahlen lassen sich mittels des Schalenmodells erklären, das von M. Göppert-Mayer<sup>(\*)</sup>, H. Jensen<sup>(\*)</sup>, Haxel und Suess maßgeblich entwickelt worden ist.

(\*) Nobelpreis 1963

### 5.2 Eigenzustände im Kernpotential

Für kugelsymmetrisches Kernpotential kann Wellenfunktion in **Radial-  $R_n(r)$**  und **Winkelanteil  $Y_{lm}(\theta, \phi)$**  zerlegt werden:

$$n\ell \quad \text{mit} \quad \begin{cases} n = 1, 2, 3, \dots & \text{Radiale Quantenzahl, } n = n_r + 1 \\ \ell = s, p, d, \dots & n_r \text{ Zahl der Bäuche in Radialfkt.} \end{cases}$$

$$m = -\ell, -\ell + 1, \dots, \ell \quad (2\ell + 1) \text{ Zustände}$$

$$\text{Parität } P(Y_{lm}(\theta, \phi)) = (-1)^\ell$$

Energie des Zustandes ist unabhängig von Quantenzahl  $l$  und  $m$ :  
Aufgrund der möglichen Spineinstellungen →  $2(2l+1)$  fache Entartung

#### Potentialansätze

Motivation: Aufgrund kurzreichweitiger Kernkraft sollte das effektive Potential in etwa der Dichteverteilung der Nukleonen im Kern entsprechen.

**a) 3-dimensionale harmonischer Oszillator:**

entspricht näherungsweise dem Potential das man bei einer gaußförmigen Nukleonen-Verteilung im Falle leichter Kerne erwartet.

$$E_{\text{Osz}} = \left(N + \frac{3}{2}\right) \hbar\omega$$

$$\text{mit } \begin{cases} N = N_x + N_y + N_z \\ N = 2(n-1) + \ell \quad (= 2n_r + \ell \quad \text{wg. } n = n_r + 1) \end{cases}$$

Zustände mit gleichem N aber unterschiedlichem n und l sind entartet.

$$\text{Entartung für festes l: } 2 \cdot (2l+1)$$

$$\text{Entartung für festes N: } (N+1)(N+2)$$

→ Erklärung der ersten magischen Zahlen: 2, 8, 20

$$N = 2(n-1) + \ell$$

Harmonischer Osz.

Woods-Saxon

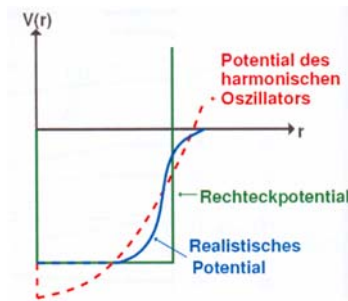
nl	N	2n + l - 2	m <sub>l</sub> -Entartung	mit Spin	Zustände mit E <sub>N</sub>	Zustände E ≤ E <sub>N</sub>
1s	0	2 · 1 + 0 - 2	1	2	2	2
1p	1	2 · 1 + 1 - 2	3	6	6	8
1d	2	2 · 1 + 2 - 2	5	10		18
2s		2 · 2 + 0 - 2	1	2	12	20
1f	3	2 · 1 + 3 - 2	7	14		34
2p		2 · 2 + 1 - 2	3	6	20	40
1g	4	2 · 1 + 4 - 2	9	18		
2d		2 · 2 + 2 - 2	5	10		
3s		2 · 3 + 0 - 2	1	2	30	70
1h	5	2 · 1 + 5 - 2	11	22		
2f		2 · 2 + 3 - 2	7	14		
3p		2 · 3 + 1 - 2	3	6	42	112

### b) Woods-Saxon Potential

$$V_{\text{Zentral}}(r) = -\frac{V_0}{1 + e^{(r-R)/a}}$$

Motivation:

In schweren Kernen wird Dichteverteilung der Nukleonen durch Fermi-Verteilung beschrieben → Woods-Saxon Potential berücksichtigt diese Dichteverteilung



Aufhebung der Entartung von Zuständen mit gleichem  $N$  und unterschiedlichem  $(n, l)$ :

Woods-Saxon: 2, 8, 18, 20, 34, 40, 58

Nur die ersten magischen Zahlen korrekt beschrieben

Mag. Zahlen: 2, 8, 20, 28, 50, 82

Keines der verwendeten Potentiale erklärt die magischen Zahlen völlig.

### 5.3 Spin-Bahn Kopplung

Die Kopplung des Nukleonspins mit dem Bahndrehimpuls führt zu einem zusätzlichem Potentialterm:

$$V(r) = V_{\text{Zentral}}(r) + V_{\text{ls}}(r) \frac{\langle \vec{\ell} \vec{s} \rangle}{\hbar^2}$$

- Bem.: - Spin-Bahn-Kopplung wird rein phänomenologisch eingeführt (s.a. Nukleon-Nukleon Kraft, Abschnitt 1)  
 - Energieaufspaltung  $\Delta E_{\text{ls}} \approx O(E_n - E_{n-1})$

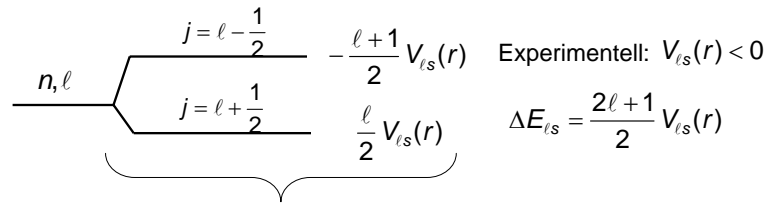
Betrachte man Gesamtdrehimpuls  $j$

Mit  $\vec{j}^2 = (\vec{\ell} + \vec{s})^2 = \vec{\ell}^2 + \vec{s}^2 + 2\vec{\ell} \vec{s}$

$$\vec{\ell} \vec{s} = \frac{1}{2}(\vec{j}^2 - \vec{\ell}^2 - \vec{s}^2) \quad \langle \vec{j}^2 \rangle = \hbar^2 j(j+1)$$

folgt  $\frac{\langle \vec{\ell} \vec{s} \rangle}{\hbar^2} = \frac{1}{2}(j(j+1) - \ell(\ell+1) - s(s+1)) = \begin{cases} \frac{\ell}{2} & \text{für } j = \ell + \frac{1}{2} \\ -\frac{(\ell+1)}{2} & \text{für } j = \ell - \frac{1}{2} \end{cases}$

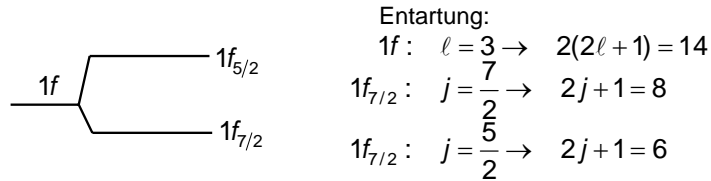
Energieaufspaltung zwischen beiden Niveaus



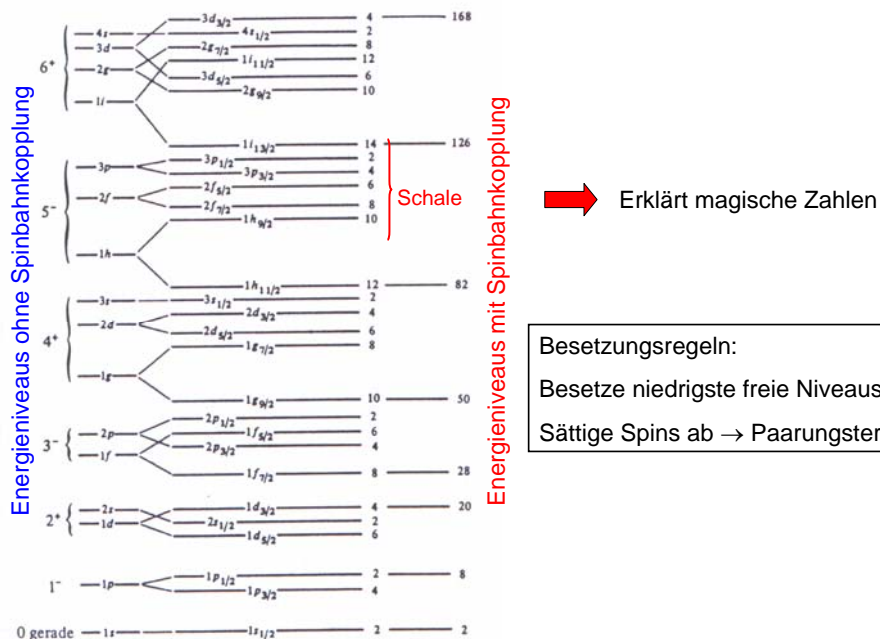
Wg.  $V_{ls}(r) < 0$  umgekehrt wie bei Atomen

Bem.: Die Spin-Bahn-Aufspaltung  $V_{ls}(r)$  wurde für jede Schale einzeln aus Kerndaten bestimmt

Gesamtdrehimpuls  $j$  wird zur Bezeichnung der Energieniveaus als zusätzlicher Index angegeben:



Energieniveau-Schema: Woods-Saxon Potential



**Besetzungsregeln:**  
 Besetze niedrigste freie Niveaus  
 Sättige Spins ab  $\rightarrow$  Paarungsterm

## 5.4 Vorhersagen des Schalenmodells

- Magische Zahlen (abgeschlossene Schalen)
- In vollständig besetztem j-Niveau koppeln alle magn. Momente  $m_j$  der Nukleonen zu Null: Abgeschlossene n/p Niveaus haben Gesamtdrehimpuls 0.
- Für Kerne mit einem Nukleon außerhalb einer abgeschlossenen Unterschale: Spin und Parität des Kerns wird durch diese Nukleonen bestimmt.  
Beispiel:  ${}^{17}_8\text{O}_9$  Grundzustand: n in  $1d_{5/2}$  Schale  $\rightarrow J^P = \frac{5}{2}^+$
- Fehlendes Nukleon (Loch) in einer sonst abgeschlossenen Schale bestimmt ebenfalls Spin und Parität des Kerns:  
Beispiel:  ${}^{15}_8\text{O}_7$  Grundzustand: Loch in  $1p_{1/2}$  Schale  $\rightarrow J^P = \frac{1}{2}^-$
- Kern-Anregungszustände durch "Leucht-Nukleonen" gut beschrieben.
- Kerne mit teilweise gefüllten j-Schalen schwierig: Es existieren mehrere Kopplungsmöglichkeiten deren Entartung durch Restwechselwirkungen aufgehoben werden.  
→ Kopplungsregeln zur Vorhersage der Grundzustandseigenschaften:  
z.B. geradzahlig vorkommende Nukleonen koppeln zum Drehimpuls 0.  
→ gg Kerne haben daher immer  $J=0$ .

## 5.5 Magnetische Momente

Im Schalenmodell besitzen die Nukleonen Spin und einen spezifischen Drehimpuls. Das magnetische Moment der Kerne kann als Summe der magnetischen Momente der Spins und der Bahndrehimpulse der Nukleonen aufgefasst werden:

$$\vec{\mu}_{\text{Kern}} = \mu_N \frac{1}{\hbar} \sum_{i=1}^A (g_\ell \vec{\ell}_i + g_s \vec{s}_i) \quad \left\{ \begin{array}{l} \mu_K = \text{Kernmagneton} = \frac{e\hbar}{2m_p} \\ g_\ell = \begin{cases} 1 & \text{Protonen} \\ 0 & \text{Neutronen} \end{cases} \\ g_s = \begin{cases} +5.58 & \text{Protonen} \\ -3.82 & \text{Neutronen} \end{cases} \end{array} \right.$$

Einfache quantitative Vorhersagen lassen sich für Ein-Nukleon/Ein-Loch Kerne machen: hier wird das magnetische Moment gerade durch Nukleon bzw. Loch bestimmt:

$$\vec{\mu}_j = \vec{\mu}_\ell + \vec{\mu}_s$$

$$g_j \mu_N \vec{j} = \mu_N (g_\ell \vec{\ell} + g_s \vec{s})$$

Zur Berechnung von  $g_j$ :  $g_j \langle \vec{j}^2 \rangle = g_\ell \langle \vec{\ell}^2 \rangle + g_s \langle \vec{s}^2 \rangle$

mit  $\vec{s} = \vec{j} - \vec{\ell} \Rightarrow s(s+1) = j(j+1) - 2\langle \vec{\ell}^2 \rangle + \ell(\ell+1)$

$\vec{\ell} = \vec{j} - \vec{s} \Rightarrow \ell(\ell+1) = j(j+1) - 2\langle \vec{s}^2 \rangle + s(s+1)$

folgt  $g_j = \frac{g_\ell \langle \vec{\ell}^2 \rangle + g_s \langle \vec{s}^2 \rangle}{\langle \vec{j}^2 \rangle}$

$$= g_\ell \frac{j(j+1) + \ell(\ell+1) - s(s+1)}{2j(j+1)} + g_s \frac{j(j+1) + s(s+1) - \ell(\ell+1)}{2j(j+1)}$$

Für den Kernspin  $j = l \pm \frac{1}{2}$  ergibt sich dann

$$\vec{\mu}_j = g_j \mu_N \vec{j} \quad \text{mit} \quad g_j = (g_\ell \pm \frac{g_s + g_\ell}{2l + 1})$$

Beispiele:

Kern	Zustand	$J^P$	Erwartung $\mu_j / \mu_N$	Experiment $\mu_j / \mu_N$
$^{15}\text{N}$	Proton in $1p_{1/2}$	$1/2^-$	-0.264	-0.283
$^{15}\text{O}$	Neutron in $1p_{1/2}$	$1/2^-$	+0.638	+0.719
$^{17}\text{O}$	Neutron in $1d_{5/2}$	$5/2^+$	-1.913	-1,894
$^{17}\text{F}$	Proton in $1d_{5/2}$	$5/2^+$	+4.722	+4.793

## 5.6 $\gamma$ -Strahlung

Angeregte Kernzustände (1 Nukleon in angeregtem Energiezustand) zerfallen unter Aussendung von elektromagnetischer Strahlung.

Strahlung lässt sich als Reihenentwicklung verschiedener Multipolanteile mit charakteristischer Winkelverteilung beschreiben.

Multi- polarität	elektrisch			magnetisch		
	$E\ell$	$ \Delta J $	$\Delta P$	$M\ell$	$ \Delta J $	$\Delta P$
Dipol	E1	1	-	M1	1	+
Quadrupol	E2	2	+	M2	2	-
Oktupol	E3	3	-	M3	3	+
...	...	...	...	...	...	...

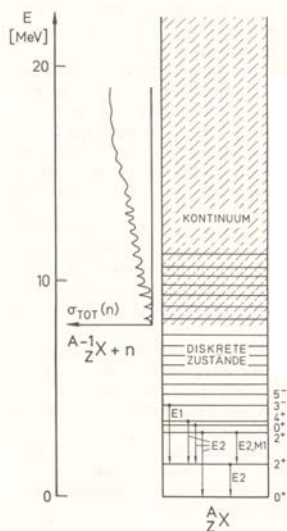
$$\Delta P = (-1)^\ell \qquad \Delta P = (-1)^{\ell+1}$$

Welche Multipolbeiträge für einen spezifischen Übergang möglich sind, ergibt sich aus den Erhaltungssätzen für Gesamtdrehimpuls und Parität.

Gesamtdrehimpulserhaltung:  $|J_i - J_f| \leq \ell \leq J_i + J_f$

Übergangswahrscheinlichkeiten für erlaubte Dipolübergänge:

- Wahrscheinlichkeit umso größer je kleiner Multipolordnung
- Stärke von  $M_1$  Übergängen entspricht etwa der Stärke von  $E_{1+1}$  Übergängen
- Lebensdauer angeregter Kernzustände typ  $10^{-9} - 10^{-15}$  s ( $\Leftrightarrow$  Linienbreiten  $< 1$  eV)



### Kontinuumszustände:

Bei Anregungsenergien oberhalb der typ. Bindungsenergien ( $\sim 8$  MeV) können Nukleonen – vorzugsweise Neutronen – emittiert werden.

Im Bereich oberhalb dieser Emissionsschwelle gibt es ebenfalls noch diskrete quasi-gebundene Zustände die Übergänge zu tieferen Niveaus erlauben.

Da die Lebensdauer dieser Zustände sehr kurz sind die Energieniveaus breit und überlappen miteinander  $\rightarrow$  Ausbildung eines Kontinuums.

## 5.7 Kollektive Anregungen

Einteilchen-Schalenmodell in der Nähe abgeschlossener Schalen gut anwendbar. Angeregte Kernzustände werden als Anregung eines Nukleons beschrieben.

Bisher nicht betrachtet: Kollektive Anregungen der Nukleonen

Phänomenologisch:

Anregungen = Dichte- und Formfluktuationen um Gleichgewichtslage.

- Oberflächenschwingungen
- Deformationen des Kerns → führt zu Quadrupolmomenten
- Rotationen des deformierten Kerns

⇒ **Kollektiv-Modelle**

“Vereinigtes Kernmodell“:

Verbindet die Eigenschaften des Schalenmodells mit Eigenschaften kollektiver Modelle. *Siehe Literatur: Frauenfelder-Henley, Povh.*